

Adam CICHY
Brunon SZADKOWSKI

QUASI-ZRÓWNOWAŻONY, AKTYWNY UKŁAD DO POMIARU WSPÓŁCZYNNIKA STRAT DIELEKTRYCZNYCH

Streszczenie. W artykule przedstawiono koncepcję oraz przykład realizacji aktywnego, quasi-zrównoważonego układu do pomiaru współczynnika strat dielektrycznych $\operatorname{tg}\delta$. Opisano zasadę działania oraz przedstawiono odpowiednie równania. Ponadto przedstawiono równania czułości rozważanego układu pomiarowego oraz ocenę niepewności pomiarów.

A QUASI-BALANCED, ACTIV CIRCUIT FOR DIELECTICS DISSIPATION COEFFICIENT MEASUREMENT

Summary. A quasi-balanced circuit for a dielectric dissipation coefficient (tangent δ) measurement has been presented in this paper. A principle of operation and appropriate equations have been presented as well. Sensitivity equations and uncertainty estimation have proposed.

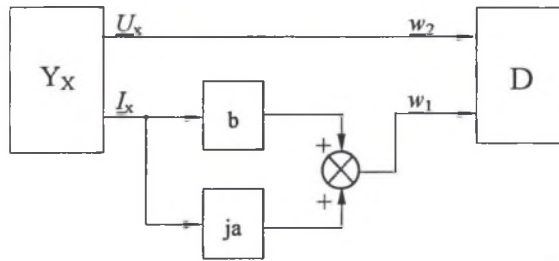
1. WSTĘP

W literaturze znane są przede wszystkim zerowe, a także odchyleniowe metody pomiaru współczynnika strat dielektrycznych $\operatorname{tg}\delta$ obiektów o charakterze RC. Metody zerowe charakteryzują się dużą dokładnością, jednak proces równoważenia układów zerowych jest złożony, co utrudnia ich automatyzację [1]. Z kolei metody wychyleniowe są metodami mniej dokładnymi, lecz stosunkowo łatwo poddają się automatyzacji. W grupie metod wychyleniowych można wyróżnić tzw. metody quasi-zrównoważone (inaczej quasi-zerowe) [2, 3], które umożliwiają pomiar tylko jednej, wybranej składowej badanej immitancji (np. $\operatorname{tg}\delta$) zachowując jednak pewne cechy układów zerowych [4, 5]. Zarówno w metodach zerowych, jak i quasi-zerowych wyróżnia się szczególnie stan układu, do którego jest on sprowadzany poprzez zmianę nastaw elementów regulacyjnych – w metodach quasi-zrównoważonych nosi on na-

zwe stanu quasi-równowagi. Osiągnięcie stanu quasi-równowagi oznacza na przykład osiągnięcie założonej wartości kąta przesunięcia fazowego wybranych sygnałów układu. W układach quasi-zrównoważonych występuje tylko jeden element regulacyjny, dlatego też możliwy jest pomiar tylko jednej składowej badanej immitancji. Układy takie charakteryzują się maksymalną zbieżnością i łatwo poddają się automatyzacji.

2. OPIS PROPONOWANEGO UKŁADU

Na rys.1 przedstawiono proponowany schemat blokowy aktywnego układu quasi-zrównoważonego do pomiaru $\text{tg}\delta$ dielektryków. Układ ten odpowiada modelowi zaproponowanemu w pracy [6].



Rys. 1. Schemat blokowy aktywnego układu quasi-zrównoważonego do pomiaru współczynnika strat dielektrycznych $\text{tg}\delta$

Fig. 1. Block diagram of the active quasi-balanced circuit for capacitor $\text{tan}\delta$ measurement

Poszczególne symbole na rys.1 oznaczają:

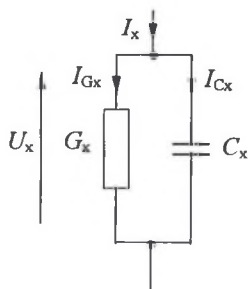
- D - detektor stanu quasi-równowagi $\text{Re}(w_1/w_2) = 0$,
- Y_x - blok zawierający badaną admittancję Y_x oraz układy zasilające,
- U_x, I_x - napięcie i prąd płynący przez badaną admittancję,
- ja, b - przetworniki o transmitancjach ja i b (a, b-liczby rzeczywiste),
- w_1, w_2 - sygnały podlegające detekcji.

Stan quasi-równowagi rozważanego układu jest to stan, w którym spełniona jest relacja

$$\text{Re}\left(\frac{w_1}{w_2}\right) = 0. \quad (1)$$

Osiągnięcie stanu quasi-równowagi uzyskuje się poprzez zmianę transmitancji a lub b . Do stwierdzenia stanu quasi-równowagi służy fazoczuły detektor D. W dalszym ciągu rozważań

zostanie wyjaśniony sposób pomiaru współczynnika strat dielektrycznych $\text{tg}\delta$. W przedstawionych rozważaniach przyjęto, że badaną admitycją Y_X (rys.1) jest dielektryk reprezentowany schematem zastępczym złożonym z równolegle połączonych konduktancji G_X oraz pojemności C_X – jak na rys.2.



Rys.2. Schemat zastępczy dielektryka przyjęty do dalszych rozważań

Fig.2. Equivalent diagram of the dielectric

Admitycja dielektryka reprezentowanego schematem z rys.2 wyraża się zależnością

$$\underline{Y}_X = G_X + j\omega C_X, \quad (2)$$

natomiast współczynnik strat dielektrycznych definiowany jest równaniem:

$$\text{tg}\delta_x = \frac{\text{Re}(\underline{Y}_X)}{\text{Im}(\underline{Y}_X)} = \frac{G_X}{\omega C_X}, \quad (3)$$

gdzie:

ω - pulsacja sygnałów $\underline{U}_x, \underline{I}_x$.

W układzie z rys.1 sygnały podlegające detekcji w_1 i w_2 można określić relacjami:

$$\begin{cases} w_1 = b\underline{I}_X + ja\underline{I}_X \\ w_2 = \underline{U}_X \end{cases}, \quad (4)$$

stąd:

$$\frac{w_1}{w_2} = b \frac{\underline{I}_X}{\underline{U}_X} + ja \frac{\underline{I}_X}{\underline{U}_X} = b\underline{Y}_X + ja\underline{Y}_X. \quad (5)$$

Układ z rys.1 zostaje sprowadzony do stanu quasi-równowagi, w którym obowiązuje zależność $\text{Re}\left(\frac{w_1}{w_2}\right) = 0$, a zatem równanie (5) przybiera postać

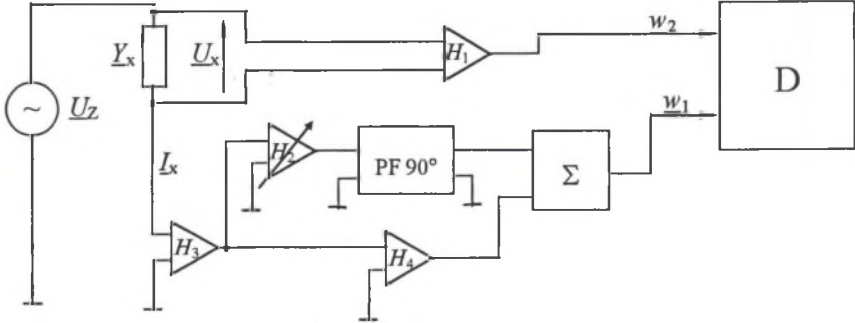
$$\text{Re}\left(\frac{w_1}{w_2}\right) = b \text{Re}(\underline{Y}_X) - a \text{Im}(\underline{Y}_X) = 0, \quad (6)$$

skąd po uwzględnieniu równania (3) można wyznaczyć interesujący współczynnik strat dielektrycznych $\text{tg}\delta$ badanej admitycji:

$$\text{tg}\delta_x = \frac{a}{b}. \quad (7)$$

Przedstawiony na rys.1 układ quasi-zrównoważony jest układem prądu przemiennego charakteryzujący się prostym i szybkim procesem pomiarowym, w którym niezbędne jest zastosowanie tylko jednego elementu regulacyjnego (por. równanie (7)). Zbieżność proponowanego układu jest zatem stale maksymalna. Układ umożliwia pomiar wyłącznie jednej składowej badanej admitycji (w tym przypadku - $\text{tg}\delta$), jednak w praktyce jest to często wystarczające.

Opisana koncepcja quasi-zrównoważonego układu do pomiaru $\text{tg}\delta$ może być zrealizowana w układzie, którego schemat ideowy przedstawiono na rys.3.



Rys.3. Schemat ideowy aktywnego quasi-zrównoważonego miernika $\text{tg}\delta$ kondensatorów
Fig.3. Block diagram of the active quasi-balanced capacitor tangent δ meter

Poszczególne symbole na rys.3 oznaczają:

D - detektor stanu quasi-równowagi $\text{Re}\left(\frac{w_1}{w_2}\right) = 0$,

PF 90° - przesuwnik fazowy 90° ,

Y_X - badana admitancja,

U_X - spadek napięcia na badanej admitancji,

I_X - prąd płynący przez badaną admitancję,

H_1 - transmitancja przetwornika U/U (wzmacniacza pomiarowego),

H_2 - transmitancja regulowanego przetwornika U/U (wzmacniacza pomiarowego o regulowanym wzmacnieniu),

H_3 - transmitancja przetwornika I/U (konwertera prąd / napięcie),

H_4 - transmitancja przetwornika U/U (wzmacniacza pomiarowego),

w_1, w_2 - sygnały podlegające detekcji,

Σ - blok sumujący sygnały (sumator).

W układzie z rys.3 - równania sygnałów podlegających detekcji w_1, w_2 , mają postać

$$\begin{cases} w_1 = H_3 H_4 I_X + j H_3 H_2 I_X \\ w_2 = H_1 U_X \end{cases}, \quad (8)$$

skąd po uwzględnieniu analogii do równań (4) i (7) otrzymuje się w stanie quasi-równowagi

$$\text{tg}\delta_x = \frac{H_2}{H_4}, \quad (9)$$

przy czym zakłada się, że transmitancje H_2 i H_4 (również H_1 i H_3) są liczbami rzeczywistymi.

3. CZUŁOŚĆ RÓWNOWAŻONEGO UKŁADU POMIAROWEGO

Przed przystąpieniem do określenia czułości należy zdefiniować sygnał F podlegający detekcji. Zauważmy, że detektor w układzie z rys. 3 reaguje na kąt przesunięcia fazowego pomiędzy sygnałami w_1 i w_2 . Stan quasi-równowagi osiągnięty jest wówczas, gdy $\operatorname{Re}(w_1/w_2) = 0$, co jest równoznaczne ze spełnieniem relacji $\arg(w_1/w_2) = 90^\circ$.

Zatem sygnał F podlegający detekcji można określić równaniem:

$$F = \arg \frac{w_1}{w_2} = \operatorname{arctg} \frac{\operatorname{Im} \left\{ \frac{w_1}{w_2} \right\}}{\operatorname{Re} \left\{ \frac{w_1}{w_2} \right\}}. \quad (10)$$

Zgodnie z zależnością (5) stosunek sygnałów w_1, w_2 wynosi

$$\frac{w_1}{w_2} = b\underline{Y}_X + ja\underline{Y}_X,$$

a zatem:

$$\operatorname{Im} \left(\frac{w_1}{w_2} \right) = b \operatorname{Im}(\underline{Y}_X) + a \operatorname{Re}(\underline{Y}_X), \quad (11)$$

oraz (por. równ.(6)):

$$\operatorname{Re} \left(\frac{w_1}{w_2} \right) = b \operatorname{Re}(\underline{Y}_X) - a \operatorname{Im}(\underline{Y}_X). \quad (12)$$

Po uwzględnieniu zależności (11) i (12) w równaniu (10) otrzymuje się zależność wiążącą sygnał F z wielkością mierzoną $\operatorname{tg} \delta_X$

$$F = \operatorname{arctg} \frac{b \operatorname{Im}(\underline{Y}_X) + a \operatorname{Re}(\underline{Y}_X)}{b \operatorname{Re}(\underline{Y}_X) - a \operatorname{Im}(\underline{Y}_X)} = \operatorname{arctg} \frac{b + a \cdot \frac{\operatorname{Re}(\underline{Y}_X)}{\operatorname{Im}(\underline{Y}_X)}}{b \cdot \frac{\operatorname{Re}(\underline{Y}_X)}{\operatorname{Im}(\underline{Y}_X)} - a} = \operatorname{arctg} \frac{b + a \operatorname{tg} \delta_X}{b \operatorname{tg} \delta_X - a}. \quad (13)$$

Bezwzględną czułość S rozważanego, quasi-zrównoważonego układu pomiarowego obliczamy znajdując pochodną $\frac{d\alpha}{d \operatorname{tg} \delta_X}$, gdzie α - wskazanie odczytane na wyjściu detektora.

W dalszym ciągu skorzystamy z pewnych przekształceń, a mianowicie

$$S = \frac{d\alpha}{d \operatorname{tg} \delta_X} = \frac{dF}{d \operatorname{tg} \delta_X} \cdot \frac{d\alpha}{dF} = \frac{dF}{d \operatorname{tg} \delta_X} \cdot S_d, \quad (14)$$

gdzie:

F - sygnał podlegający detekcji,

$S_d = \frac{d\alpha}{dF}$ - czułość detektora stanu quasi-równowagi.

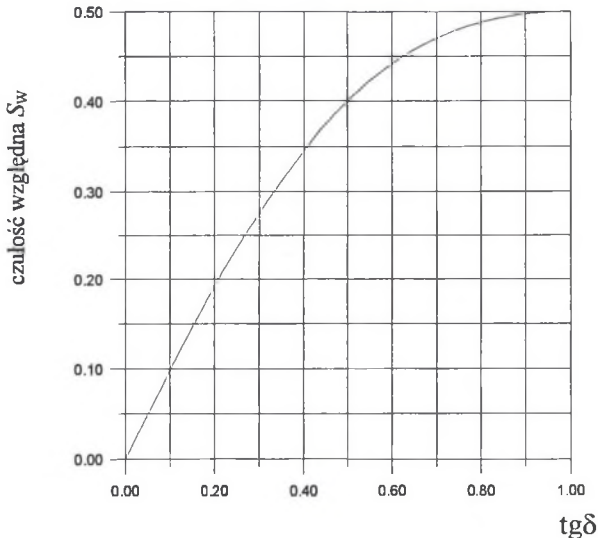
Pochodną $\frac{dF}{d \operatorname{tg} \delta_x}$ oblicza się z zależności (13) i po podstawieniu do równania (14) otrzymuje się

$$S = \frac{1}{1 + (\operatorname{tg} \delta_x)^2} S_d. \quad (15)$$

Względną czułość omawianego układu wyznaczamy z zależności:

$$S_w = \frac{d\alpha}{\frac{d \operatorname{tg} \delta_x}{\operatorname{tg} \delta_x}} = S \operatorname{tg} \delta_x = \frac{\operatorname{tg} \delta_x}{1 + (\operatorname{tg} \delta_x)^2} S_d. \quad (16)$$

Na rys.4. przedstawiono charakterystykę czułości względnej S_w układu z rys.3, przy czym czułość detektora stanu quasi-równowagi przyjęto jako stałą, równą $1/1^\circ$.



Rys. 4. Charakterystyka czułości względnej układu z rys.3
Fig. 4. Sensitivity characteristic for the circuit from Fig.3

Względna czułość układu osiąga swoje maksimum dla $\operatorname{tg} \delta$ równego 1. Typowe wartości $\operatorname{tg} \delta$ dla kondensatorów z dielektrykiem mieszczą się w granicach $10^{-3} \dots 10^{-1}$, wówczas czułość względna S_w osiąga wartości z przedziału $10^{-3} \dots 10^{-1}$. Zwiększenie czułości układu dla mniejszych $\operatorname{tg} \delta$ wymaga zatem stosowania detektora o większej czułości S_d .

4. OCENA NIEPEWNOŚCI POMIARÓW

Do oceny niepewności pomiarów w omawianym układzie (rys.3) przyjęto pewne założenia, a mianowicie:

- w stosowanych rozwiązaniach wzmacniaczy pomiarowych oraz konwerterów prąd/napięcie niepewności kątowe są zwykle pomijalnie małe (transmitancje H_1, H_2, H_3, H_4 z rys.3 są liczbami rzeczywistymi);
- przesuwnik fazowy (blok PF90° na rys.3) wnosi dodatkowy błąd amplitudowy ze względu na wzmocnienie różne od jedności - konieczne jest zatem wprowadzenie do równania przetwarzania transmitancji H_{PF} przesuwnika fazowego.

Z równania (13), po uwzględnieniu, że $a=H_2H_3$ oraz $b=H_3H_4$ (por. równanie (8) i (4)), otrzymuje się

$$F = \arctg \frac{H_3H_4 + H_2H_3 \operatorname{tg} \delta_X}{H_3H_4 \operatorname{tg} \delta_X - H_2H_3} = \arctg \frac{H_4 + H_2 \operatorname{tg} \delta_X}{H_4 \operatorname{tg} \delta_X - H_2}, \quad (17)$$

skąd

$$\operatorname{tg} F = \frac{H_4 + H_2 \operatorname{tg} \delta_X}{H_4 \operatorname{tg} \delta_X - H_2}. \quad (18)$$

Po przekształceniu równania (18) do postaci (19)

$$\operatorname{tg} \delta_X = \frac{H_4 + H_2 \operatorname{tg} F}{H_4 \operatorname{tg} F - H_2} = \frac{H_4 \operatorname{ctg} F + H_2}{-H_2 \operatorname{ctg} F + H_4}, \quad (19)$$

można wyznaczyć równanie quasi-równowagi (wcześniej podane jako równanie 9); w stanie quasi-równowagi $F \rightarrow 90^\circ$, tzn. $\operatorname{ctg} F \rightarrow 0$, a więc równanie (19) przyjmuje postać:

$$\operatorname{tg} \delta_X = \frac{H_2}{H_4}.$$

Po uwzględnieniu transmitancji H_{PF} przesuwnika fazowego równanie (18) przyjmuje postać:

$$\operatorname{tg} \delta_X = \frac{H_4 + H_{PF} H_2 \operatorname{tg} F}{H_4 \operatorname{tg} F - H_{PF} H_2}. \quad (20)$$

Korzystając z zależności (20) można wyznaczyć niepewność bezwzględna pomiaru tangensa kąta strat (bez uwzględniania wpływów zakłócających). Odpowiednia relacja do obliczenia niepewności bezwzględnej $\pm \Delta \operatorname{tg} \delta$ ma postać:

$$\pm \Delta \operatorname{tg} \delta_X = \pm \sqrt{\left(\frac{\partial \operatorname{tg} \delta_X}{\partial H_4} \cdot \pm \Delta H_4 \right)^2 + \left(\frac{\partial \operatorname{tg} \delta_X}{\partial H_2} \cdot \pm \Delta H_2 \right)^2 + \left(\frac{\partial \operatorname{tg} \delta_X}{\partial H_{PF}} \cdot \pm \Delta H_{PF} \right)^2 + \left(\frac{\partial \operatorname{tg} \delta_X}{\partial F} \cdot \pm \Delta F \right)^2}, \quad (21)$$

gdzie:

$\pm \Delta H_4, \pm \Delta H_2$ - niepewności amplitudowe przetworników o transmitancji H_4 oraz H_2 ,

$\pm \Delta H_{PF}$ - niepewność amplitudowa aktywnego przesuwnika fazowego 90° ,

$\pm \Delta F$ - niepewność pomiaru kąta fazowego (niepewność detektora kąta 90°).

Równanie (21) można zapisać w innej postaci:

$$\pm \Delta \text{tg} \delta_X = \pm \sqrt{[k_1 (\pm \Delta H_4)]^2 + [k_2 (\pm \Delta H_2)]^2 + [k_3 (\pm \Delta H_{PF})]^2 + [k_4 (\pm \Delta F)]^2}, \quad (22)$$

gdzie:

$$k_1 = \frac{\partial \text{tg} \delta_X}{\partial H_4} = \frac{H_{PF} H_2 (-1 - \text{tg}^2 F)}{(H_4 \text{tg} \gamma - H_{PF} H_2)^2}, \quad (23)$$

$$k_2 = \frac{\partial \text{tg} \delta_X}{\partial H_2} = \frac{H_{PF} H_4 (1 + \text{tg}^2 F)}{(H_4 \text{tg} \gamma - H_{PF} H_2)^2}, \quad (24)$$

$$k_3 = \frac{\partial \text{tg} \delta_X}{\partial H_{PF}} = \frac{H_4 H_2 (1 + \text{tg}^2 F)}{(H_4 \text{tg} \gamma - H_{PF} H_2)^2}, \quad (25)$$

$$k_4 = \frac{\partial \text{tg} \delta_X}{\partial F} = \frac{(H_{PF}^2 H_2^2 + H_4^2) (-1 - \text{tg}^2 F)}{(H_4 \text{tg} \gamma - H_{PF} H_2)^2}. \quad (26)$$

Niepewność względną pomiaru tangensa kąta strat opisuje zależność:

$$\begin{aligned} & \pm \delta \text{tg} \delta_X = \\ & = \pm \sqrt{\left(\frac{k_1}{\text{tg} \delta_X} \cdot (\pm \Delta H_4) \right)^2 + \left(\frac{k_2}{\text{tg} \delta_X} \cdot (\pm \Delta H_2) \right)^2 + \left(\frac{k_3}{\text{tg} \delta_X} \cdot (\pm \Delta H_{PF}) \right)^2 + \left(\frac{k_4}{\text{tg} \delta_X} \cdot (\pm \Delta F) \right)^2}. \end{aligned} \quad (27)$$

lub po przekształceniu:

$$\pm \delta \text{tg} \delta_X = \pm \sqrt{[p_1 (\pm \Delta H_4)]^2 + [p_2 (\pm \Delta H_2)]^2 + [p_3 (\pm \Delta H_{PF})]^2 + [p_4 (\pm \Delta F)]^2}. \quad (28)$$

gdzie:

$$p_1 = \frac{k_1}{\text{tg} \delta_X} = \frac{H_{PF} H_2 (-1 - \text{tg}^2 F)}{(H_4 \text{tg} F - H_{PF} H_2)^2 \text{tg} \delta_X}, \quad (29)$$

$$p_2 = \frac{k_2}{\text{tg} \delta_X} = \frac{H_{PF} H_4 (1 + \text{tg}^2 F)}{(H_4 \text{tg} F - H_{PF} H_2)^2 \text{tg} \delta_X}, \quad (30)$$

$$P_3 = \frac{k_3}{\operatorname{tg} \delta_X} = \frac{H_4 H_2 (1 + \operatorname{tg}^2 F)}{(H_4 \operatorname{tg} F - H_{PF} H_2)^2 \operatorname{tg} \delta_X}, \quad (31)$$

$$P_4 = \frac{k_4}{\operatorname{tg} \delta_X} = \frac{(H_{PF}^2 H_2^2 + H_4^2) (-1 - \operatorname{tg}^2 F)}{(H_4 \operatorname{tg} F - H_{PF} H_2)^2 \operatorname{tg} \delta_X}. \quad (32)$$

Zastosowane w omawianym układzie pomiarowym elementy charakteryzowały się następującymi niepewnościami względnymi:

$$\pm \delta H_4 \approx \pm 1\%,$$

$$\pm \delta H_2 \approx \pm 1\%,$$

$$\pm \delta H_{PF} \approx \pm 1\%,$$

$$\pm \delta F \approx \pm 1,5\%,$$

zatem niepewność całkowitą można oszacować na poziomie $\pm \delta \operatorname{tg} \delta_X \approx \pm 5\%$.

W omawianym układzie pomiarowym jednym ze źródeł niepewności jest ograniczona pobudliwość; odpowiedni błąd pobudliwości δ_p jest ściśle związany z czułością względną S_w układu (por. pkt.3) według zależności:

$$\delta_p = \frac{1}{S_w} d\alpha = \frac{1 + (\operatorname{tg} \delta)^2}{\operatorname{tg} \delta} \cdot \frac{1}{S_d} d\alpha, \quad (33)$$

gdzie:

$d\alpha$ – najmniejsza dostrzegalna zmiana wskazania detektora.

W praktyce dąży się do tego, aby spełniony był warunek

$$\delta_p \leq 0,1 \cdot \delta \operatorname{tg} \delta_X, \quad (34)$$

a zatem powinien być spełniony również warunek

$$\frac{1 + (\operatorname{tg} \delta)^2}{\operatorname{tg} \delta} \cdot \frac{1}{S_d} d\alpha \leq 0,1 \cdot \delta \operatorname{tg} \delta_X. \quad (35)$$

W przypadku pomiaru małych $\operatorname{tg} \delta$ (rzędu $10^{-2} \dots 10^{-3}$) spełnienie warunku (35) wymagało by zastosowania bardzo czułego detektora, co może być trudne w realizacji. Błąd pobudliwości może być wówczas dominującą składową całkowitej niepewności pomiaru.

5. UWAGI KOŃCOWE

Model fizyczny układu pomiarowego zaprezentowanego na rys.3 został wykonany i przebadany w ramach pracy [7]. Przeprowadzone badania potwierdziły przydatność omawianego układu quasi-zrównowazonego do pomiaru $\operatorname{tg} \delta$ dielektryków, przy czym osiągnięta

niepewność pomiarów $\pm(10..20)\%$ nie była zadowalająca. Podstawowymi przyczynami stonkowo dużej niepewności były zbyt mała czułość oraz niska jakość zastosowanych elementów.

Opisany układ pomiarowy charakteryzuje się prostym i szybkim procesem „quasi-równoważenia”, gdyż wystarczy zastosowanie tylko jednego elementu regulacyjnego. W odróżnieniu od układów zrównoważonych prądu przemiennego - zbieżność układów quasi-zrównoważonych jest stale maksymalna. Jest to istotne zarówno z punktu widzenia automatyzacji układu, jak i „quasi-równoważenia” ręcznego.

Warto podkreślić, że omawiany, quasi-zrównoważony układ pomiarowy charakteryzuje się niezależnością czułości od napięcia zasilania (w szerokim zakresie napięć). Napięcie zasilania nie występuje w równaniach przetwarzania i czułości, a także w równaniu opisującym niepewność układu. Może to być korzystne w niektórych sytuacjach pomiarowych.

Przedstawione w artykule równania mogą być wykorzystane przy projektowaniu omawianych układów, a zwłaszcza przy wskazywaniu sposobów zmniejszenia niepewności pomiarów. Jednym z ważniejszych sposobów zmniejszenia niepewności jest zwiększenie czułości detektora D . Dalsze prace należałoby zatem skoncentrować na opracowaniu odpowiednich sposobów detekcji. Wydaje się, że tutaj interesujące może być wykorzystanie najnowszych osiągnięć w zakresie pomiarów kątów fazowych, jakimi są algorytmiczne metody pomiaru kąta fazowego, obszernie opisane w monografii [8].

LITERATURA

1. Karandiejew K. B.: *Pomiary elektryczne metodami mostkowymi i kompensacyjnymi*. WNT, Warszawa 1969.
2. Szadkowski B.: *Quasi-zrównoważone metody pomiaru immitancji*. Rozprawy Elektrotechniczne 1985, 31, z.2.
3. Szadkowski B.: *Pomiar składowych immitancji metodą detekcji stanu $\text{Re } w_1/w_2=0$* . Zeszyty Naukowe Politechniki Śląskiej, seria „Elektryka” nr 108, Gliwice 1989.
4. Cichy A.: *Quasi-zrównoważone układy do pomiaru składowych immitancji*. Materiały XXX Międzyuczelnianej Konferencji Metrologów MKM'98, Międzyzdroje 1998.
5. Atmanand M. A., Jagadeesh Kumar V., Vempati G. K., Murti: *A Microcontroller Based Quasi-Balanced Bridge for the Measurement of L, C and R*. IEEE Transactions on Instrumentation and Measurement, vol. 45, no. 3, June 1996.
6. Cichy A., Szadkowski B.: *Typowe rozwiązania quasi-zrównoważonych układów do pomiaru składowych immitancji*. Zeszyty Naukowe Politechniki Śląskiej, seria „Elektryka” nr 168, Gliwice 2000.
7. Wyrozumski A.: *Quasi-zrównoważony miernik RC*. Praca dyplomowa magisterska, wykonana w Instytucie Metrologii i Automatyki Elektrotechnicznej Politechniki Śląskiej pod kier. B. Szadkowskiego, Gliwice 1999.

8. Gajda J., Sroka M.: Pomiar kąta fazowego. Metody - układy - algorytmy. Wyd. AGH, Kraków 2000.

Recenzent: Prof. dr hab. inż. Zygmunt KUŚMIEREK

Wpłynęło do Redakcji dnia 22 sierpnia 2002 r.

Abstract

A circuit for tangent δ measurement with some balanced circuit features has been presented in this paper. So called quasi-balance status has been distinguished in this circuit, which means, that an assumed phase shift is obtained for the selected circuit signals. This is possible by means of only one regulation element. A block diagram of the quasi-balanced circuit for tangent δ measurement has been presented in Fig.1. D is the quasi-balance status detector, Y_x – a block containing the measured admittance Y_x and power circuits, $\underline{U}_x, \underline{I}_x$ – the voltage and the current of the investigated admittance, ja, b – transducers with ja and b transmittances (a, b – real numbers), w_1, w_2 – detected signals. The quasi-balance status of the mentioned circuit means that the equation (1) is satisfied. It is possible by a or b change, and the detector D confirms the quasi-balance status. Tangent δ can be calculated from equation (7).

The described idea of the quasi-balanced circuit can be realized in the circuit shown in Fig.3. Tangent δ can be calculated from equation (9) (H_2, H_4 and H_1, H_3 are real numbers).

The relative sensitivity of this circuit can be calculated from equation (16) and the sensitivity characteristics is shown in Fig.3.

The maximal uncertainty of this circuit is described by equation (28). The errors (also known as excitability errors caused by the limited sensitivity of converting blocs are described by equation (33).